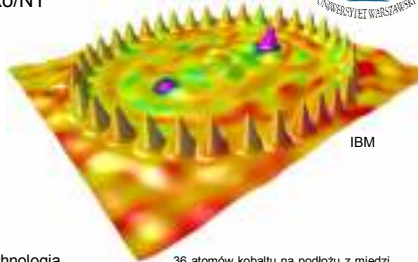


Nanotechnologie – od półprzewodników do DNA.

Jacek.Szczytko@fuw.edu.pl
http://www.fuw.edu.pl/~szczytko/NT



1. Nanotechnologia na codzień
2. Jak działa komputer?
 - a) Od bramki do bramki
 - b) Jak działa tranzystor
3. Prawo Moora i jego konsekwencje
 - a) Więcej! Szybciej! Taniej!
 - b) Wyzwania i problemy
4. Nanotechnologie
 - a) CO?
 - b) JAK?
 - a) Top-down, czyli (nano)technologia
 - b) Bottom-up, czyli samoorganizacja
 - c) Chem-Fiz, Bio-Fiz!



IBM

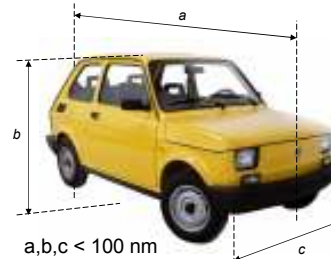
36 atomów kobaltu na podłożu z miedzi tworzy „koralce kwantowe”. Elektrony na powierzchni miedzi oddziałują z atomem kobaltu umieszczonym w ognisku elipsy tworząc „kwantowy miraż”.

NanoTechnologia



10^{-9}
0,000 000 001

Nauka
Inżynieria
Technologia



Nanotechnologia w kulturze



Nanotechnologia na codzień

<p>Motoryzacja (Hummer H2 sport utility truck)</p>	<p>Budownictwo Samoczyszczący się beton</p>	<p>Elektronika Wyświetlacze OLED</p>
<p>Sport</p>	<p>Ubrania (Nano-Tex)</p>	<p>AGD Samoczyszcząca się lodówka Samsung Nano SilverSeal</p>
		<p>Kosmetyki</p>

www.sts.utexas.edu/projects/nanomodules/

Dlaczego XXI w?



Parowóz dziejów

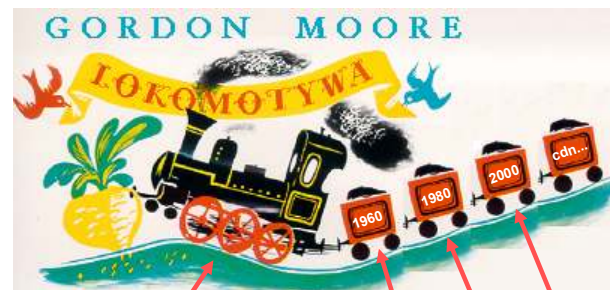
nano

miko

mili

Jacek Szczytko@fuw.edu.pl http://www.fuw.edu.pl/~szcztyko

Dlaczego XXI w?



Parowóz dziejów

nano

miko

mili

Przez ostatnie 40 lat na badania technologii krzemowej wydano bilion (ang. trillion) 10^{12} USD

Nanotechnologia

Dual-Core Intel Xeon 7100 series (2007)

2 × 291 000 000 tranzystorów (1 300 000 000 z cache)
 technologia 65 nm
 Zegar 2,66 GHz
 8 warstw
 Moc 120 W



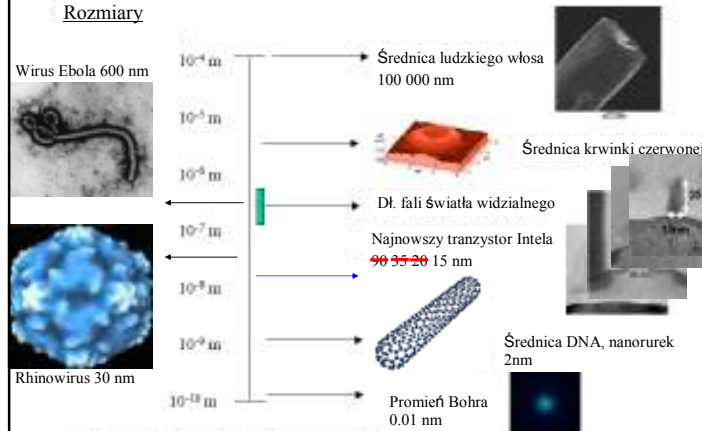
AMD Opteron MP HE 8000 series Dual-Core (2006)

243 000 000 tranzystorów
 technologia 90 nm.
 Zegar 1,8 GHz
 9 warstw
 Moc 68 W



Nanotechnologia

Rozmiary



Jacek.Szczytko@fuw.edu.pl http://www.fuw.edu.pl/~szczytko

Dlaczego XXI w?

Przez ostatnie 40 lat na badania technologii krzemowej wydano bilion (ang. trillion) 10^{12} USD

TRENDY: Pierwsze Prawo Moore'a

Ilość komponentów (tranzystory, połączenia, izolacje itd.) w IC podwaja się co około 18 miesięcy.

Rozmiar liniowy komponentów również zmniejsza się wykładniczo w czasie.

Te trendy nie mogą być kontynuowane w nieskończoność.

- Co zastąpi technologię Si?
- Z czego będzie wynikała ta zmiana technologii?

EKONOMIA

Źródło: Intel

Granice miniaturyzacji?

Myślmy, że tranzystor jest zbudowany tak.

25 nm MOSFET
Produkcja od 2008

4,2 nm MOSFET
Produkcja ???

Asen Asenov, Glasgow
David Williams Hitachi-Cambridge

IEEE Trans Electron Dev 50(9), 1837 (2003)

Nanotechnologie

CO?

- Studnie, druty, kropki

JAK?

- Top-down, czyli (nano)technologia
- Bottom-up, czyli samoorganizacja

Google: **Jacek Szczytko**
Login: ...
Hasło: ...

Struktury niskowymiarowe
Low-dimensional Semiconductor Systems

Studnie kwantowe

t

2D

Druty kwantowe

1D

Kropki kwantowe

"0D"

Dyskretna struktura elektronowa

Jacek.Szczytko@fuw.edu.pl http://www.fuw.edu.pl/~szczytko

Hubert J. Krenner

MOCVD

FUW Pasteura 7

Studnia kwantowa

E_c

t

MOCVD → Osadzanie z atomową precyzją warstw o różnym składzie lub domieszkowaniu

$D(E)$

E_c

E_0

E_1

E

2D

POLSKA AKADEMIA NAUK
UNIWERSYTET WARSZAWSKI

Studnie Kwantowe

Lasery półprzewodnikowe

Hubert J. Krenner

Struktury niskowymiarowe
Low-dimensional Semiconductor Systems

Studnie kwantowe

t

2D

Druty kwantowe

1D

Kropki kwantowe

"0D"

Dyskretna struktura elektronowa

Hubert J. Krenner

Jacek.Szczytko@fuw.edu.pl http://www.fuw.edu.pl/~szczytko

Druty

Figure 9: Quantum wire fabrication based on nanoscale etching and re-growth

Figure 10: Selective growth of quantum wires on a pre-patterned V-groove substrate

Figure 11: Growth of quantum wires on a vicinal surface with self-assembled steps

Figure 12: Growth of quantum wires on a vicinal surface with self-assembled steps

Druty

www.ece.ou.edu/g_seminar.htm

<http://www.mpi-halle.mpg.de/~mbe/>

Photo by Peidong Yang/UC Berkeley, courtesy of Science

Struktury niskowymiarowe

Low-dimensional Semiconductor Systems

Studnie kwantowe

2D

Druty kwantowe

1D

Kropki kwantowe

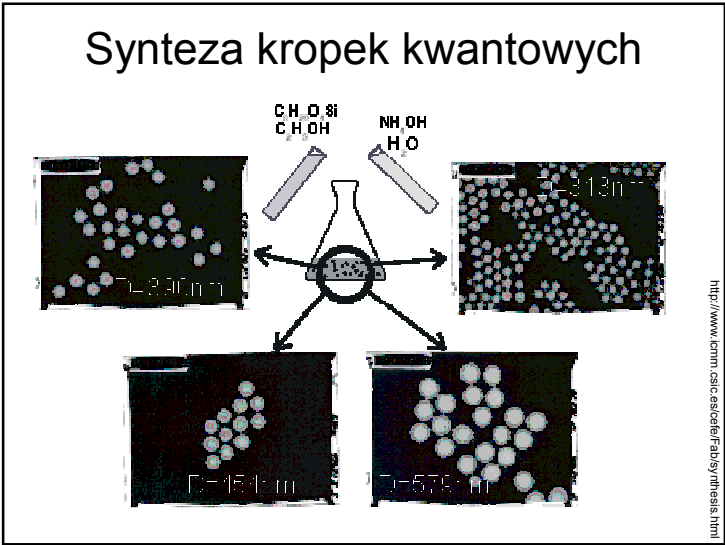
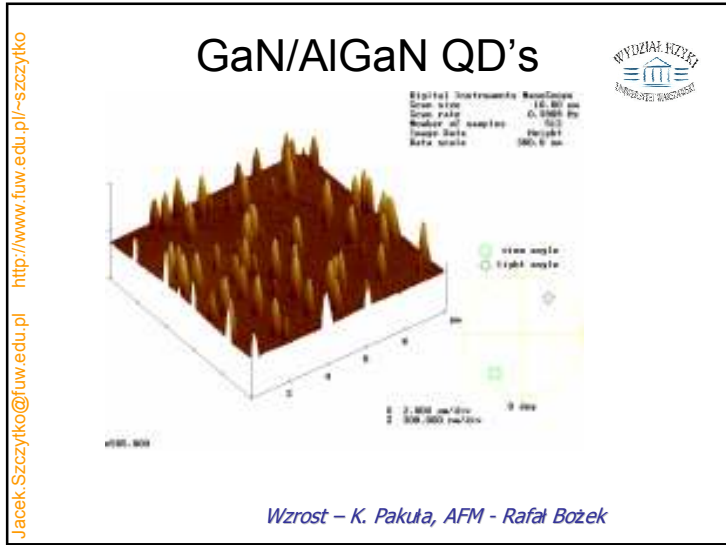
"0D"

Dyskretna struktura elektronowa

Hubert J. Krenner

Quantum Dot

Hubert J. Krenner
Walter Schottky Institut and Physik Department E24, TU München



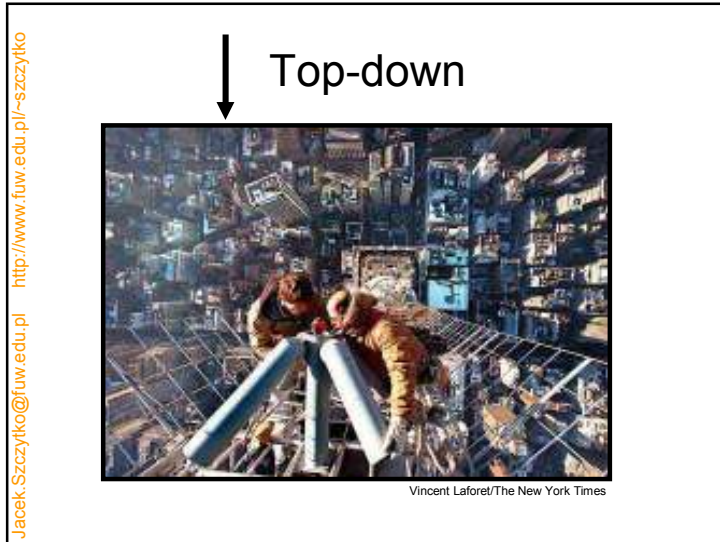
Nanotechnologie

CO?

- Studnie, druty, kropki

JAK?

- Top-down, czyli (nano)technologia
- Bottom-up, czyli samoorganizacja



W jaki sposób produkowane są układy scalone?

1. **Dominuje technologia krzemowa**
2. **Obecne układy**
~ 10⁹ - 10¹⁰ tranzystorów
3. **Podłoża - 300mm,**
~ 10³ chipów
4. **Fotolitografia, naświetlanie, trawienie etc**
5. **Typowo ~20 masek, 150 - 200 kroków procesów**

<http://qt.tn.tudelft.nl/research/qdots/>

[Nano Tech Web](#)

[S. Kawata *et al.*, *Nature* **412**, 697 (2001)]

7μm

(3 hours to make)

λ = 780nm

resolution = 150nm

2μm

Nanotubes as molecular quantum wires

Gems Dekker
TU Delft

Jacek.Szczytko@fuw.edu.pl http://www.fuw.edu.pl/~szczytko

Nanotechnologie

CO?

- Studnie, druty, kropki

JAK?

- Top-down, czyli (nano)technologia
- Bottom-up, czyli samoorganizacja

↑ Bottom-up



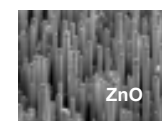
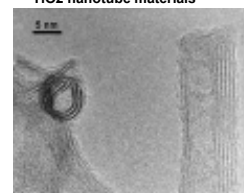
Wydział (nano)Chimii UW

<http://www.chem.uw.edu.pl/labs/elektrochemia/Nanogaleria/nanogaleria.htm>

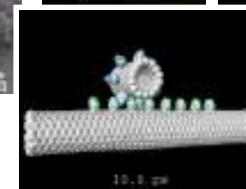
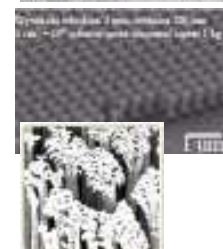
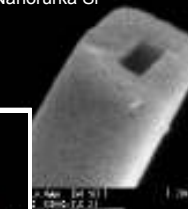


Nanorurki, nanowąsy i kropki

TiO₂ nanotube materials



Nanorurka Si



www.ee.leeds.ac.uk/nanomsc/modules1.php

Kropki kwantowe + bio

T2-MP EXITAGS
Non-heavy Metal - InP Based, Water Stabilized Quantum Dots

<http://www.fuw.edu.pl/~szcztyko>
<http://www.evidenttech.com/>

A PbSe Quantum Dot as seen through a transmission electron microscope (TEM).

Kropki kwantowe + bio

Double duty. Green quantum dots cling to mitochondria in the cytoplasm; orange dyes label proteins in the same cells' nuclei.

Science, Vol 300, Issue 5616, 80-81 , 4 April 2003

Kropki kwantowe + bio

Moths glow. New quantum dots injected into a fire-breath moth fly locate it a laser.

Science, Vol 300, Issue 5616, 80-81 , 4 April 2003

Magnetyczne QD's

WYDZIAŁ FIZYKI
UNIWERSYTET WARSZAWSKI

Jacek Szczytko

Ferrofluid

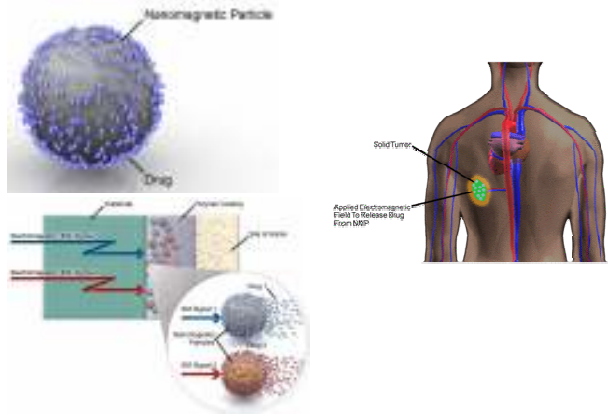


Ferrofluid



Akademia Górniczo Hutnicza

Magnetyczne QD's



http://www.biophan.com/index.php?option=com_content&task=view&id=262&Itemid=426

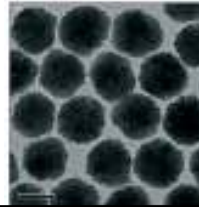
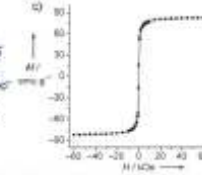
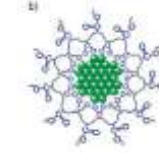
Magnetic photonic crystals

Photonic Crystals

DOI: 10.1002/janie.200701992

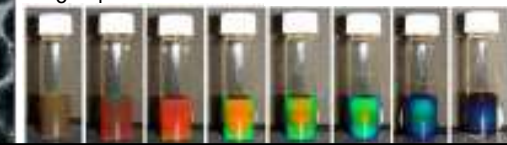
Highly Tunable Superparamagnetic Colloidal Photonic Crystals^{61*}

Jianping Ge, Yongxing Hu, and Yudong Yin*



Fe₃O₄ 120 nm

UCRIVERSIDE Newsroom



<http://www.fuw.edu.pl/~szczzytko>

Magnetic photonic crystals

DOI: 10.1002/janie.200701992

Highly Tunable Superparamagnetic Colloidal Photonic Crystals^{(1)*}
 Jianping Ge, Yongxing Hu, and Yadong Yin*

Angewandte Chemie

(1) Jianping Ge, Yadong Yin, et al. Tunable optical properties of 10 nm Fe₃O₄ colloidal photonic crystals by varying external magnetic field. Defunctive peaks blue-shifted as the magnetic strength increased. Alternatively, Fe₃O₄ 10 nm colloidal photonic crystals with the diameter increases from 0.8 to 1.7 nm in diameter. The color of the colloidal photonic crystals changed from red to blue.

Nanorurki

Nanorurki można sobie wyobrazić jako warstwy atomów węgla (takie jak w graficie), które zostały zrolowane.

Rozróżniamy orientacje:

- Armchair
- Zig-zag
- Chiral

Orientacja jest zdefiniowana przez wektor chiralny (n,m)
 $c_h = n a + m b$

J. Basak, D. Mitra, S. Sinha „Carbon nanotube: the next generation sensors” presentation
 Paweł Tomasz Pęczkowski

Winda do nieba

Winda do nieba

<http://www.spaceelevator.com/>

Winda do nieba

LETTERS

Stratlong single-wall carbon nanotubes

CHEN, M. J., O'CONNELL, S. R., DOOHY, X. Z., LIU, F. H., ZHANG, E. A., ARHOOFF, HOFFBANDER, B. J., ROOP, G. K., JAV, R. C., DYE, D. E., PETERSOV, S. M., HANCO, J. L. T. 2004

NATURE MATERIALS | VOL 3 | OCTOBER 2004 | www.nature.com/naturematerials

<http://www.uc.edu/news/NR.asp?id=5700>

Cincinnati

Nanomaszyny

Benzen + CN

Za wolno

W sam raz

Gear Rotation in a Vacuum 200 rot/ns

Powered Sharf

<http://www.ipt.arc.nasa.gov>

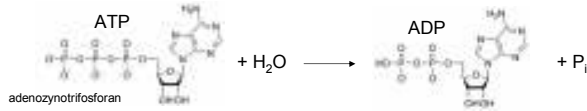
First Synthetic Nanomotor

Schematic (top) and scanning electron microscopy (SEM) image (bottom) of LBNL's synthetic nanomotor. A 300 nm Au plate rotor (R) is attached to a multi-walled carbon nanotube (MWNT) which acts as a support shaft and is the source of rotational freedom. Electrical contact to the rotor plate is made via the MWNT and its anchor pads (A1, A2). Three stator electrodes, two on the SiO₂ surface (S1, S2) and one buried beneath the surface (S3), provide the control elements.

http://www.lbl.gov/msd/Pls/Zettli0307_nanomotor03_7_nanomotor.html Alex Zettl, 03-7

Nano-motor

Model for the Kinesin Mechanism



[mov-musmyosinmotrev6.mov](#)

[mov-procromotconykinrev5.mov](#)



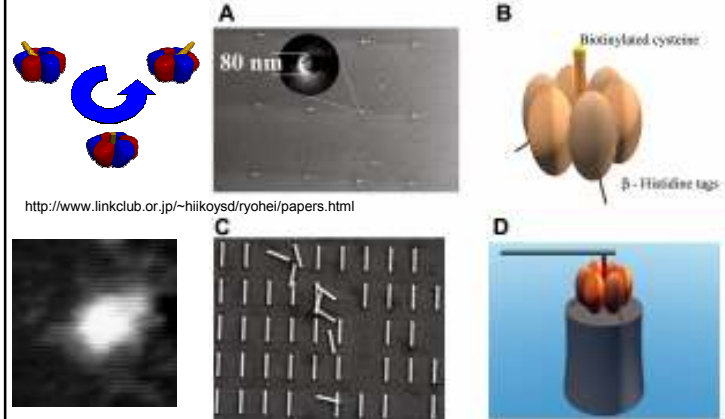
Kinesin is a dimeric motor protein that travels processively towards the microtubule plus end by taking 8 nm steps, which corresponds to the distance between adjacent alpha/beta tubulin binding sites. We have sought to define the structural changes in the motor that explain the direction of movement and the basis of head-head coordination during processive motility.

http://valelab.ucsf.edu/research/res_mec_overv.html

http://www.sns.gov/workshops/nni_05/presentations/050617_pincus_philip_nni05.pdf

<http://www.fuw.edu.pl/~szczepan>
Jacek.Szczepan@fuw.edu.pl

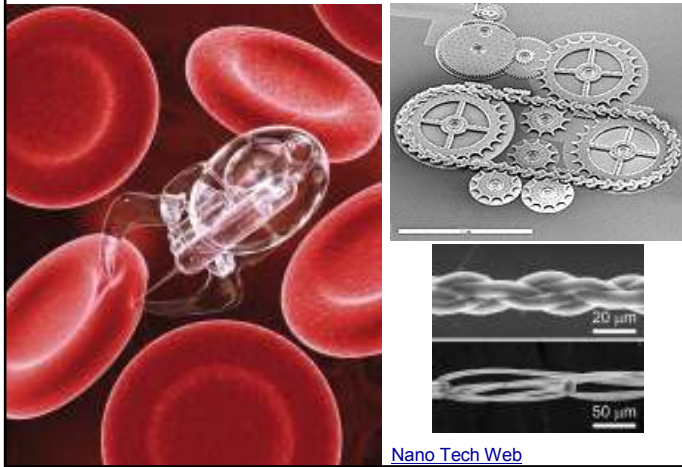
Bio-nano-silnik (ATPaza)



<http://www.linkclub.or.jp/~hiikoysd/ryohei/papers.html>

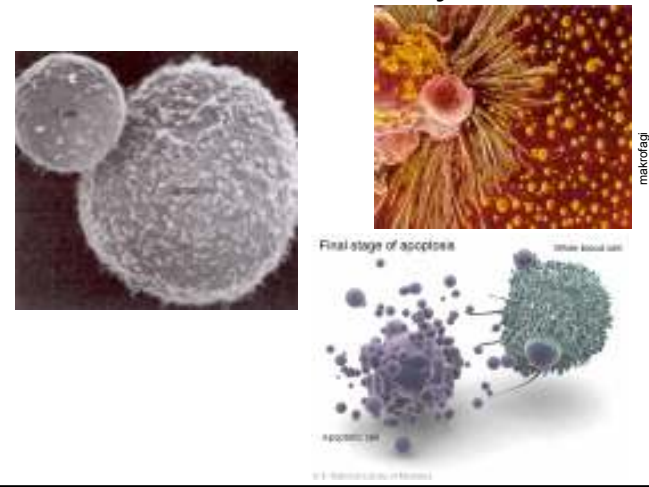
<http://www.foresight.org/Conferences/MNT6/Papers/Montemagno/index.html>

Nanoroboty



[Nano Tech Web](#)

Nanoroboty

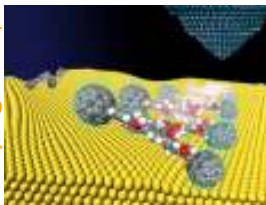
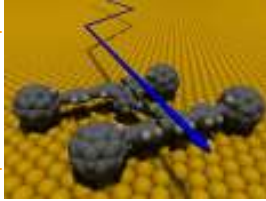


Jacek.Szczytko@fuw.edu.pl http://www.fuw.edu.pl/~szczytko

Nano-samochód



Y. Shira/Rice University



They found the nanocar was quite stable on the surface remaining parked until the surface was heated above 170 °C - presumably because of strong adhesion between the fullerene wheels and the underlying gold. Flat gold surface was used to prevent the nanocar actually roll around on its fullerene wheels, rather than slip like a car on ice. Between 170 °C and 225 °C, the researchers observed that the nanocar moved around by translational motion and pivoting. The translational motion was always in a direction perpendicular to the handcar's axle, indicating that it moves by rolling rather than sliding.

<http://www.nanonewsnet.com/index.php?module=pagesetter&func=viewpub&tid=4&pid=2>

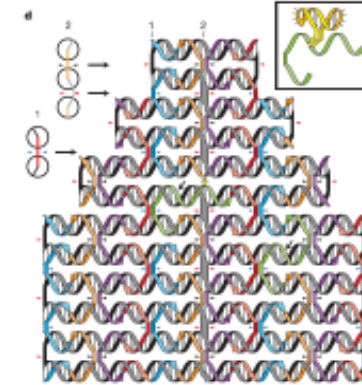
Nano i bio (DNA)

Vol 440 15 March 2006 doi:10.1038/nature04586

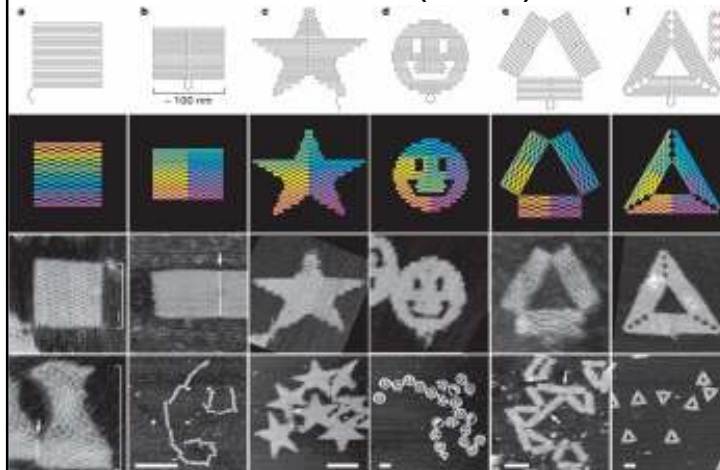
nature

Folding DNA to create nanoscale shapes and patterns

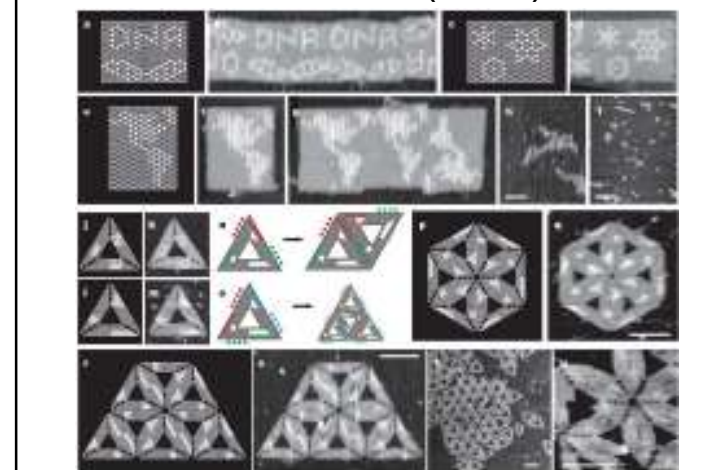
Paul W. K. Rothemund¹

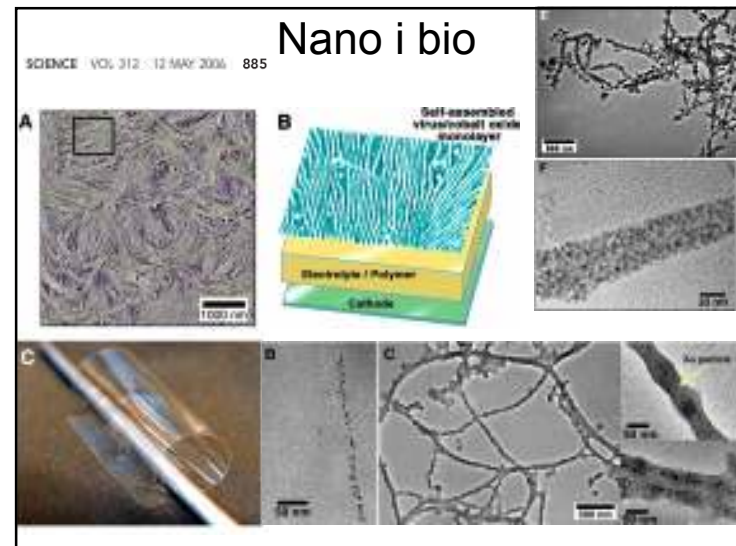
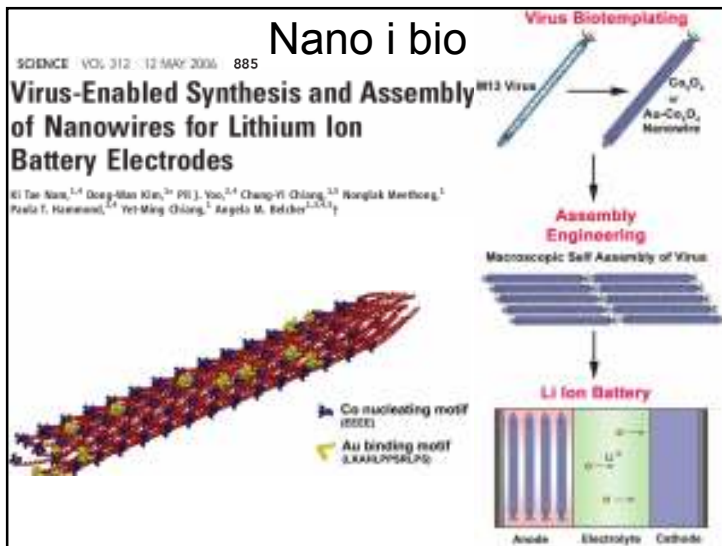
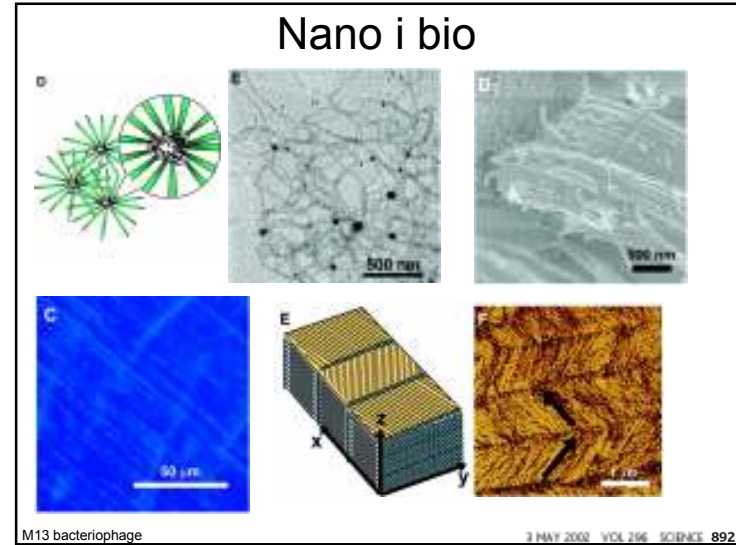
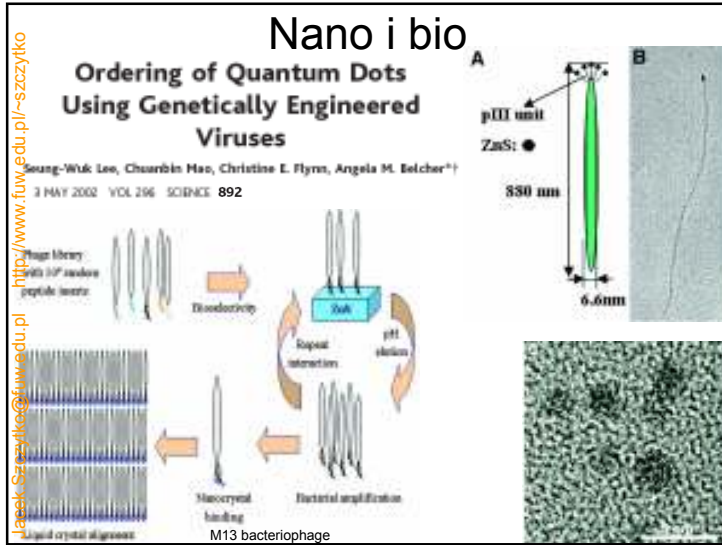


Nano i bio (DNA)



Nano i bio (DNA)





Nano i bio

SCIENCE VOL 303 9 JANUARY 2004 213

Virus-Based Toolkit for the Directed Synthesis of Magnetic and Semiconducting Nanowires

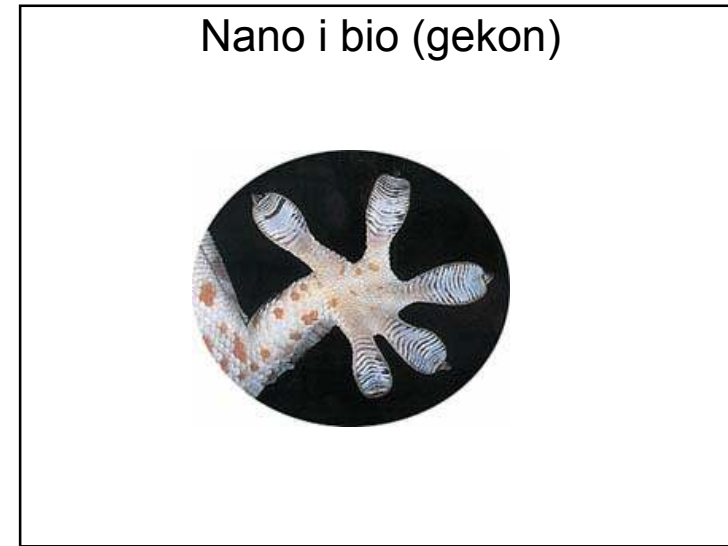
Chuanbin Mao,^{1*} Daniel J. Solis,^{1*} Brian D. Reiss,¹ Stephen T. Kottmann,⁴ Raymond Y. Swooney,² Andrew Hayhurst,² George Georgiou,^{1,2} Brent Iverson,^{1,2} Angela M. Belcher^{1†}

ZnS

CoPt

<http://www.fuw.edu.pl/~szcztyko>

Jacek.Szcztyko@fuw.edu.pl



Nano i bio (gekon)

<http://www.microscopy.fsu.edu/primer/java/electronmicroscopy/magnify1/index.html>

Jacek.Szcztyko@fuw.edu.pl

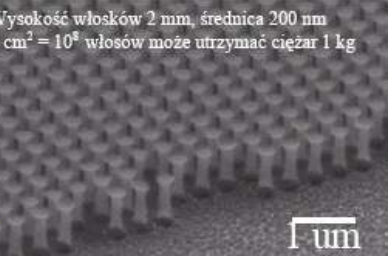
Nano i bio (gekon)

<http://www.microscopy.fsu.edu/primer/java/electronmicroscopy/magnify1/index.html>


Nano i bio (gekon)

6000x

Wysokość włosków 2 mm, średnica 200 nm
 $\text{cm}^2 = 10^8$ włosów może utrzymać ciężar 1 kg



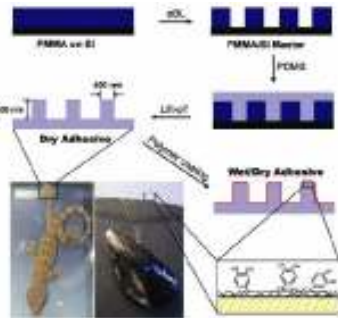
1 μm




Paweł Tomasz Pęczkowski

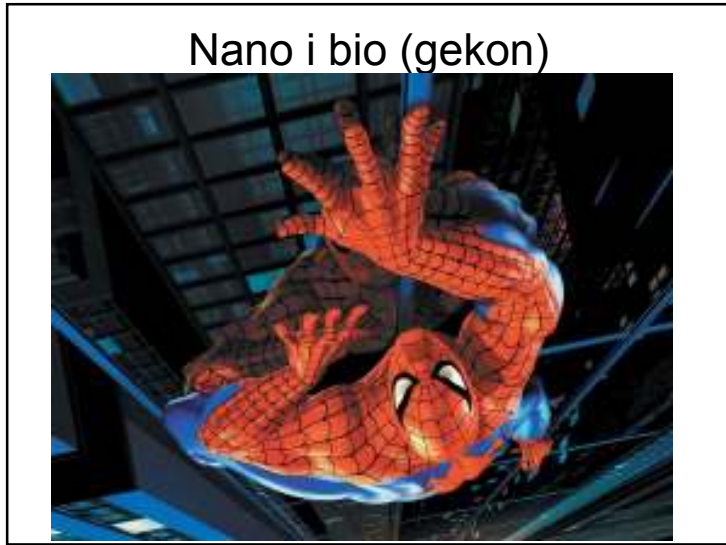
<http://www.microscopy.fsu.edu/primer/java/electronmicroscopy/magnify1/index.html>

Nano i bio (gekon)






Nature 448, 338-341 (19 July 2007)



Co dalej?



Parowóz dziejów

Przez ostatnie 40 lat na badania technologii krzemowej wydano bilion (ang. trillion) 10^{12} USD

1960
1980
2000
cdn...

mili
mikro
nano

Myślmy, że tranzystor jest zbudowany tak.

Granice miniaturyzacji?

25 nm MOSFET
Produkcja od 2008

4,2 nm MOSFET
Produkcja ???

IEEE Trans Electron Dev 50(9), 1837 (2003)

http://www.fuw.edu.pl/~szcztyko
Jacek.Szcztyko@fuw.edu.pl

Ile bitów na atom?

Illustration showing how to transform an electron from its usual state in an atom (a), in which it exists in a cloud of possible positions surrounding the positively charged nucleus (indicated by a plus sign), to a "Trojan state" (b), in which the electron orbits the nucleus like a planet around the sun. The name comes from Trojan asteroids, the asteroids which orbit the sun in the same orbit as Jupiter but in a place either ahead or behind the planet. To create a Trojan electron, researchers would first use laser light to put the electron into a "circular Rydberg state" in which the electron exists in a thin donut of possible positions (b). Then, a microwave beam would subsequently change the shape of the donut (c-e), shrinking the range of possible positions for the electron and ultimately causing the electron to shrink into a small droplet (or alternatively, a shortened sausage) of possible positions. This droplet then orbits the nucleus like a planet around the sun. Although not yet achieved experimentally, researchers believe that current technology could be applied to create Trojan electrons. The figure is not to scale—the circular Rydberg and Trojan states are actually hundreds of thousands of times farther away from the nucleus. In addition, the figure essentially shows just the top half of the probability cloud for the Trojan electron.

In recent computer simulations, researchers formed the word "optics" by calculating the electron cloud for a specially prepared $n=50$ state. In the image above, the intensity of the letters represents the relative probability for finding the electron at that place, and the color denotes the phase (relative point in the cycle) of the electron wave associated with that point in the cloud. (Image courtesy Carlos Stroud, University of Rochester, and Michael Noel.) This research is described by Carlos Stroud and Michael Noel in the April 1999 issue of [Optics and Photonics News](#).

Nanotechnologie

Total spend on nanotechnology

Year	Private spend	Govt	USA	Japan	EU or Europe
1991	~100	~100	~100	~100	~100
1992	~200	~200	~200	~200	~200
1993	~400	~400	~400	~400	~400
1994	~800	~800	~800	~800	~800
1995	~1600	~1600	~1600	~1600	~1600
1996	~3200	~3200	~3200	~3200	~3200
1997	~6400	~6400	~6400	~6400	~6400
1998	~12800	~12800	~12800	~12800	~12800
1999	~25600	~25600	~25600	~25600	~25600
2000	~51200	~51200	~51200	~51200	~51200
2001	~102400	~102400	~102400	~102400	~102400
2002	~204800	~204800	~204800	~204800	~204800
2003	~409600	~409600	~409600	~409600	~409600
2004	~819200	~819200	~819200	~819200	~819200
2005	~1638400	~1638400	~1638400	~1638400	~1638400
2006	~3276800	~3276800	~3276800	~3276800	~3276800
2007	~6553600	~6553600	~6553600	~6553600	~6553600

European Commission
European Strategy for Nanotechnology

http://www.fuw.edu.pl/~szczytko

Podziękowania

Zakład Fizyki Ciała Stałego <http://www.fuw.edu.pl/~zfcs/>
prof. dr hab. M. Baj

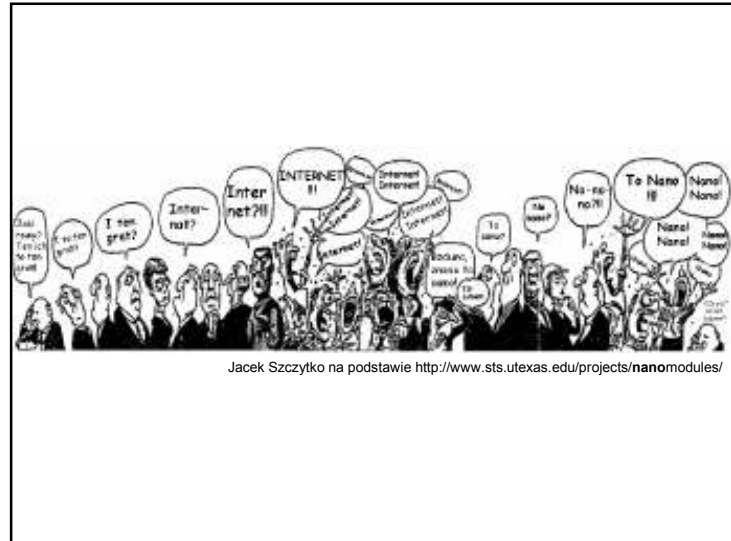
Struktury Kwantowe GaAs/AlAs
mgr B. Chwalisz Prof. M. Baj
dr A. Wyszomolek dr hab. D. Wasik
dr M. Potemski (GHMFL) dr J. Siwiec
prof. R. Stepniowski

Spektroskopia ultraszybka
prof. J. Gaj,
prof. M. Nawrocki,
dr hab. A. Gólnik,
M. Goryca,
Kazimierczuk,
dr P. Kossacki,
K. Kowalik,
W. Maślana,
W. Pacuski,
B. Piechal,
Suffczyński,
A. Trajnerowicz

Kropki Kwantowe: GaN/Al_xGa_{1-x}N
prof. R. Stepniowski
mgr K. Pakula
mgr R. Bożek
mgr K. Surowiecka
dr A. Wyszomolek
mgr B. Chwalisz
prof. J. Baranowski
dr K. Kossacki
dr K. Korona
dr hab. A. Gólnik

Promieniowanie THz
dr Jerzy Lusakowski,
dr Krzysztof Karpiusz,
mgr Maciej Sakowicz,
prof. dr hab. Marian Grynberg

Spintronika
prof. dr hab. Maria Kamińska
prof. dr hab. Andrzej Twardowski
dr Jacek Gosk
dr Jacek Szczytko,
mgr Konrad Działkowski,
mgr Marcin Zajac



Jacek Szczytko na podstawie <http://www.sts.utexas.edu/projects/nanomodules/>